

14  
А-51

ОБЪЕДИНЕННЫЙ ИНСТИТУТ  
ЯДЕРНЫХ ИССЛЕДОВАНИЙ



Лаборатория высоких энергий

В.Я.Алмаэов, И.А.Голутвин, В.Д.Инкин, Ю.А.Каржавин,  
С.С.Кирилов, И.В.Колесов, В.Д.Неустроев, Ю.П.Прокофьев, В.Д.Степанов,  
И.В.Чувило, И.Шинагл

1097

ПРИБОР ДЛЯ АВТОМАТИЧЕСКОЙ ОБРАБОТКИ  
ФОТОГРАФИЙ С ПУЗЫРЬКОВЫХ КАМЕР /АПС/

Дубна 1982 год

В.Я.Алмазов, И.А.Голутвин, В.Д.Инкин, Ю.А.Каржавин,  
С.С.Кирилов, И.В.Колесов, В.Д.Неустроев, Ю.П.Прокофьев, В.Д.Степанов,  
И.В.Чувило, И.Шинагл

1097

ПРИБОР ДЛЯ АВТОМАТИЧЕСКОЙ ОБРАБОТКИ  
ФОТОГРАФИЙ С ПУЗЫРЬКОВЫХ КАМЕР /АПС/

ГАУ - ГАУЧЕННЫЙ ИНСТИТУТ  
ГАУ - ГАУЧЕННЫЙ ИССЛЕДОВАНИЙ  
БИБЛИОТЕКА

Дубна 1962 год

Описан прибор для автоматического измерения координат следов частиц по снимкам, полученным на пузырьковых, диффузионных и других камерах. Измеренные координаты фиксируются на перфоленте для ввода их в счетную машину типа "М-20", "Урал", "Киев". Максимальная скорость движения по следу в режиме автоматического сопровождения 3 мм/сек, точность отсчета координат 2,5 мк, среднеквадратическая ошибка измерений в режиме автоматического сопровождения 2,5 - 4 мк. Наличие режима ручной обработки позволяет использовать прибор для точного обмера длин, для измерения координат отдельных точек и т.п. Прибор разрабатывался с августа 1958 г. по август 1960 года.

#### Устройство прибора

Описываемый прибор представляет собой измерительную установку с автоматическим сопровождением вдоль избранного оператором следа.

Общий вид прибора приведен на рис. 1, а его устройство схематически показано на рис. 2.

Снимок с измеряемыми следами располагается на микроскопном столе /1/. С помощью оптической системы /осветитель /2/, объектив /3/, зеркало /4// изображение снимка проектируется на экран общего обзора /5/ с увеличением 7 раз /на экран проектируется кадр 60 мм x 60 мм/.

Участок снимка размером 1,3 x 1,7 мм через полупрозрачный участок зеркала /4/, зеркало /6/, призму Дове /7/ проектируется на мишень передающей трубы типа видикон /8/. В приборе применена без существенных переделок промышленная телевизионная установка ПТУ-ОМ, сигналы с которой используются для системы автосопровождения следа.

Телевизионный экран /9/ используется как точный индикатор сопровождения, т.к. на нем получается увеличенное в 140 раз изображение участка измеряемого следа.

Измерительный столик перемещается в плоскости **xy** с помощью двух микрометрических координатных винтов.

Вращение винтов осуществляется с помощью электрических двигателей постоянного тока типа СЛ-161 /12, 13/. В электроприводе применена тахометрическая обратная связь. В качестве тахогенератора используются двигатели ПД-3-5 /14, 15/.

Для обеспечения перемещения столика по любому заданному направлению применена синус-косинусная система управления электроприводами.

Направление движения столика определяется углом поворота синус-косинусного трансформатора /16/ и может изменяться либо системой автоматического поворота либо поворотом штурвала /17/ /синус-косинусный трансформатор связан со штурвалом с помощью сельсинной передачи/. Скорость движения вдоль следа задается педалью

/18/, сопровождение следа может осуществляться оператором с помощью штурвала, либо системой автоматического сопровождения.

Применение призмы Дове /7/ позволяет при слежении по следу в произвольном направлении иметь на телевизионном экране изображение следа всегда в вертикальном направлении, что облегчает ручное сопровождение и позволяет значительно упростить систему автоматического сопровождения /т.к. исключает необходимость поворота видикона или микроскопного стола/.

Для регистрации измеренных координат точек следов используются фотоэлектрические датчики перемещения /10,11/ и система отсчета координат /20/ с выходом на перфокартер /21/. Цена отсчета координат 2,5 мк.

Прибор выполнен в виде действующего макета для отработки элементов конструкции и схем окончательного варианта.

#### Основные характеристики и режимы работы прибора

1. Максимальный размер обрабатываемого снимка 150 x 100 мм.
2. Максимальная скорость перемещения измерительного стола 3,5 мм/сек.
3. Точность измерения координат  $\pm$  2,5 мк.
4. Прибор обеспечивает четыре режима работы:
  - a/ Автоматическое сопровождение следа с автоматической записью координат.

При этом оператор устанавливает начало измеряемого следа в "зону захвата" системы автоматического сопровождения, все дальнейшие операции автоматизированы, вплоть до остановки прибора после окончания обработки следа.

б/ Автоматическое сопровождение при управлении скоростью движения вдоль следа и записи координат оператором.

в/ Полуавтоматическое сопровождение /режим подкоррекции/. В этом режиме оператором осуществляется управление скоростью движения вдоль следа, корректировка направления движения с помощью штурвала и запись координат.

г/ Ручное сопровождение.

При этом сопровождение следа и запись координат производится оператором.

Выбор режима работы обуславливается качеством обрабатываемого снимка.

#### Система автоматического сопровождения следа

Для автоматического сопровождения используются сигналы, снимаемые с выхода видеоусилителя телевизионного блока, которые после селектирования поступают на дискриминаторы системы автосопровождения. Длительность селекторного импульса приблизительно равна длительности сигнала от следа /см. рис. 3/.

В приборе применен "четырехщелевой" метод автосопровождения.

Электронные "щели" формируются в виде серий импульсов, синхронизированных со строчной и кадровой развертками телевизионного блока.

Если подать эти импульсы на модулирующий электрод кинескопа, то получится изображение "щелей", приведенное на рис. 4.

Ширина "щели"  $t_1$  определяется половиной максимальной ширины следов и выбрана /при строчной развертке 15 Кгц/ равной 3,5 мкsec. Длина "щелей"  $t_2$  определяется несколькими факторами: кривизной следа, желаемой степенью интегрирования вдоль следа и качеством изображения по краям раstra. Длина щелей была выбрана /при частоте 50 кадров в сек/ 15 мкsec.

Система автоматического сопровождения состоит из двух частей: системы подкоррекции /управление двигателями  $x$  и  $y$ / и системы автоматического поворота. Для получения сигнала ошибки подкоррекции объединяются щели 1,2 и, соответственно, 3 и 4, а для получения сигнала ошибки поворота объединяются щели 1, 3 и 2,4.

Блок-схема системы автосопровождения приведена на рис. 5. Импульсы "щелей" и селекторные импульсы привязаны к импульсу диодно-регенеративного компаратора, который формируется в момент равенства нулю тока в строчных катушках видикона, что соответствует определенной геометрической точке на мишени видикона. Это позволяет обойтись без жесткой стабилизации по частоте генератора строчной развертки и без применения высокостабильных схем задержки.

Ошибка, вносимая нестабильностью импульса привязки, не превышает  $\pm 2,5$  мк за 8 часов работы прибора.

Блок-схема формирования электронных "щелей" приведена на рис. 6.

Сигналы изображения и импульсы "щелей" поступают на дискриминаторы, которые вырабатывают сигналы рассогласования /ошибки/. Схемы дискриминаторов подкоррекции и поворота одинаковы и приведены на рис. 7.

С дискриминатора поворота сигнал ошибки поступает на электропривод призмы Дове.

Сигнал ошибки подкоррекции модулируется частотой 2 Кгц и подается на синус-косинусный трансформатор 1, после которого по двум каналам поступает на фазовые детекторы  $x$  и  $y$  автоматики. Выпрямленные сигналы управляют электроприводами  $x$  и  $y$  измерительного столика, соответственно.

Принципиальная схема электропривода приведена на рис. 8. Одновременно с сигналами ошибок подкоррекции на входы электроприводов через синус-косинусный трансформатор 2 и фазовые детекторы  $x$  и  $y$  ручного управления поступают напряжения от педали.

Синус-косинусный трансформатор 2 задает направление движения. Выходные сигналы синус-косинусных трансформаторов 1 и 2 свинуты на  $90^\circ$ , при этом сигналы ошибок подкоррекции действуют в направлении, перпендикулярном направлению движения вдоль обрабатываемого следа.

На рис. 9 приведены полученные экспериментально переходные процессы для системы подкоррекции и поворота.

Система отсчета и регистрации координат  
измеряемого события

Блок-схема отсчетного устройства приведена на рис. 10.

Сигналы с фотодатчиков обрабатываются во входном устройстве, которое определяет знак перемещения и формирует импульсы, поступающие на 18-разрядные двоичные реверсивные счетчики  $x$  и  $y$ .

Схема определения знака /см. рис. 11/ состоит из двух триггеров Шмидта и ключей  $K_1$  и  $K_2$ .

В зависимости от направления движения либо на выходе I либо на выходе II схемы определения знака будет появляться последовательность импульсов, используемая для переключения триггеров знака счетчиков.

Эти же импульсы после задержки на время переключения ключей реверса в счетчиках /~ 40 ~ 50 мкsec/ подаются на счетные входы счетчиков.

Принципиальная схема счетной ячейки приведена на рис. 12. Для возможности регистрации показаний счетчика на перфоленте во время движения каретки микроскопного стола в счетчике применена промежуточная память на ферритовых кольцах.

Перенос показания счетчика в промежуточную память производится схемой блокировки записи, запрещающей перенос в момент счета, т.е. в интервале времени, равном 40 мкsec, внутри которого находится счетный импульс.

Считывающие и выходные обмотки колец памяти сведены в матрицу, которая определяется порядком расположения числа на перфоленте.

Функции управления записью, считыванием и работой перфоратора выполняет блок управления. В блок управления входит система автоматической регистрации координат /см. рис. 13/. Импульсы переноса, снимаемые с выходов ячеек первых разрядов счетчиков  $x$  и  $y$ , задают интервалы автоматического отсчета координат. Счетчик числа координат, зарегистрированных на перфоленте, прекращает работу перфоратора и движение по следу после пробивки заданного числа координат.

В режиме автоматической регистрации координат для каждого интервала отсчета задается фиксированная скорость движения по следу, которая определяется скоростью работы перфоратора /в нашем случае пробивка координат  $x$  и  $y$  одной точки занимает 0,5 сек/.

Для регистрации на перфоленте дополнительных данных о событии - номера кадра и пленки, числа лучей и т.п. используется специальная машинка для регистрации служебных знаков.

Точность измерений координат

Для оценки точности прибора была проведена серия контрольных измерений. Измерения проводились как по тестовым линиям, так и по реальным следам в режиме автоматического сопровождения при скорости движения по следу 1,5 мм/сек.

При измерениях по тестовым линиям /ширина 100 мк/ максимальное отклонение от прямолинейности не превышало 5 мк /это соответствует среднеквадратическому отклонению 1,5 мк/. Среднеквадратическое значение ошибки при измерении координат релятивистских следов с большим числом разрывов и пересечений не превышало 3-4 мк.

Для иллюстрации на рис. 14 приведены результаты измерений по одной из линий тестовой сетки/сторона квадрата 5 мм, ширина линии 0,1 мм/.

### Заключение

Использование в приборе промышленной телевизионной установки позволяет иметь точный индикатор ручного сопровождения с большим увеличением обрабатываемого участка снимка. Это существенно расширяет возможность прибора, так как позволяет обрабатывать следы в условиях наличия большого фона, производить точное измерение длин отрезков и обрабатывать отдельные точки следа.

Применение полупроводниковых триодов в отсчетном канале прибора /как показал двухгодичный опыт работы/ удешевляет монтаж и сборку прибора. В связи с этим в дальнейшем предполагается перевод большинства схем автоматики на полупроводниковые триоды.

В настоящее время прибор работает совместно со счетной машиной М-20 и убирает процесс обработки событий от 5 до 10 раз.

Кроме авторов настоящей статьи в разработке прибора принимали участие В.П. Семикопенко, В.А. Калугин, А.С. Дворецкий.

В монтаже и наладке прибора принимали участие А.С. Буров, А.П. Суслов, М.Г. Чуенков, Н.А. Курнаков и др.

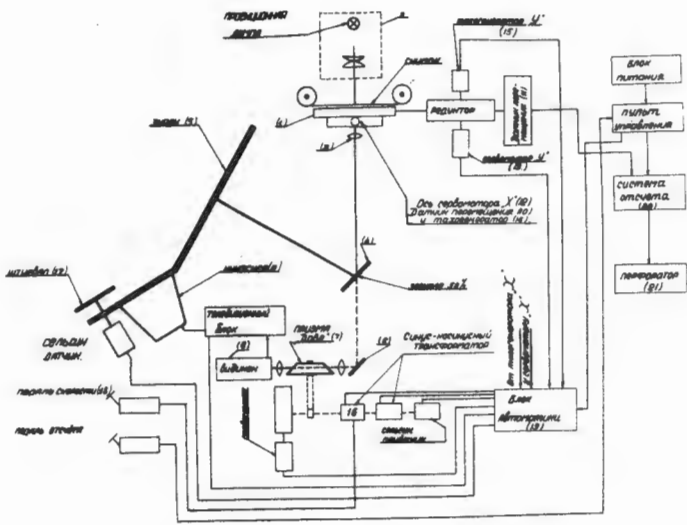
### Литература

1. Nuclear Instruments, Vol 21958 N 2 p.154/1959/.

Рукопись поступила в издательский отдел  
11 октября 1962 года.

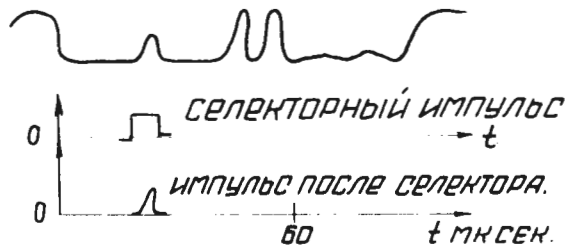


Р и с. 1. Общий вид прибора.

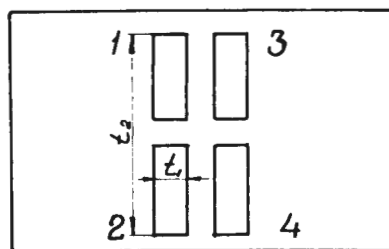


**Р и с. 2.** Схематическое устройство прибора.

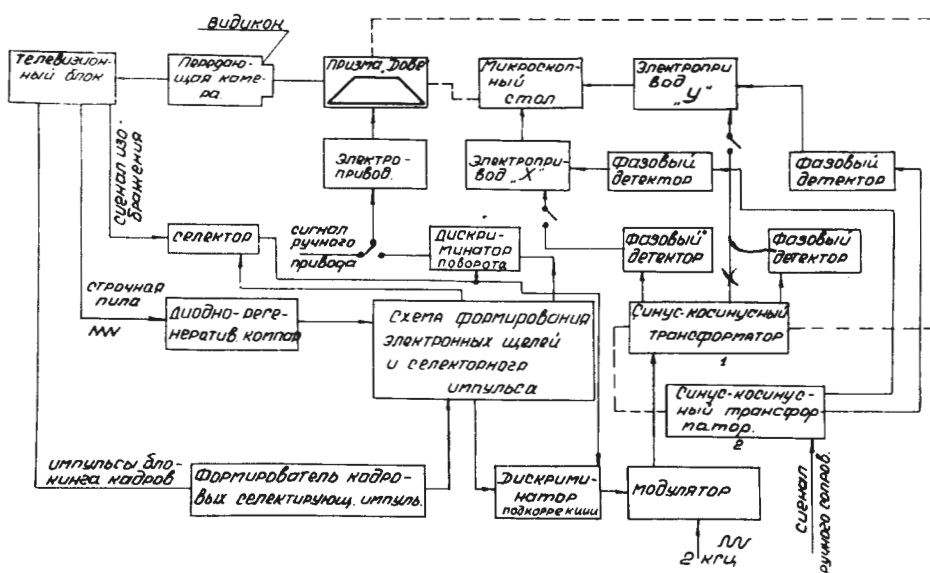
### СИГНАЛЫ ИЗОБРАЖЕНИЯ



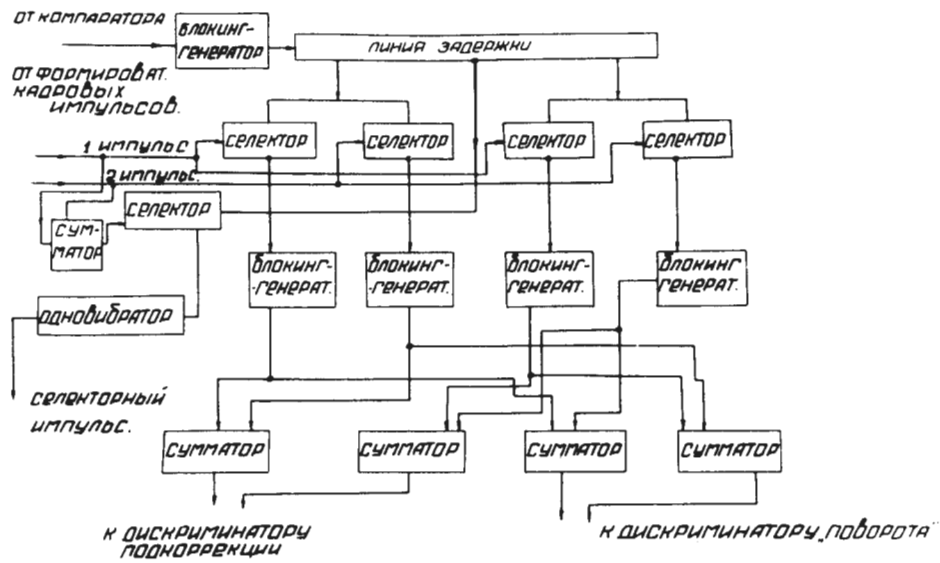
Р и с. 3. Осциллограммы сигналов изображения и селекторного импульса.



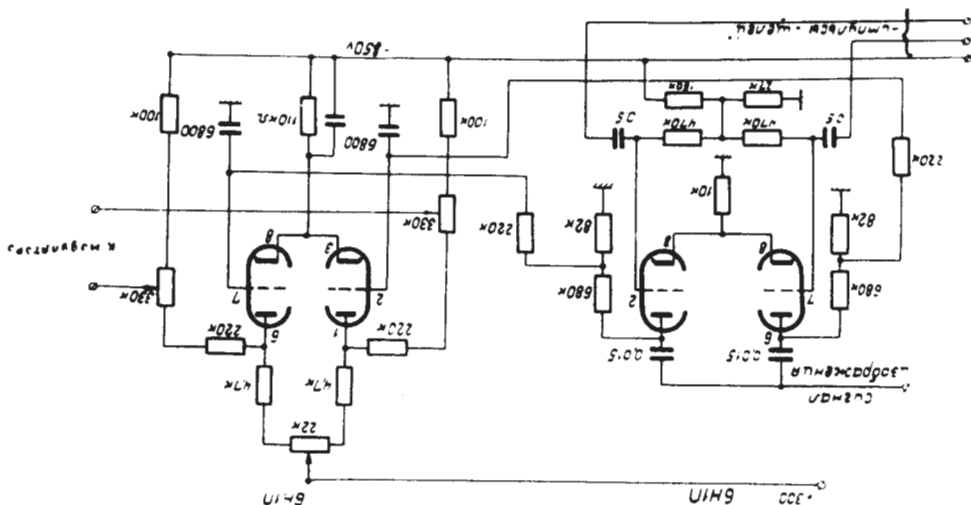
Р и с. 4. Размещение электронных "щелей" на телевизионном экране.



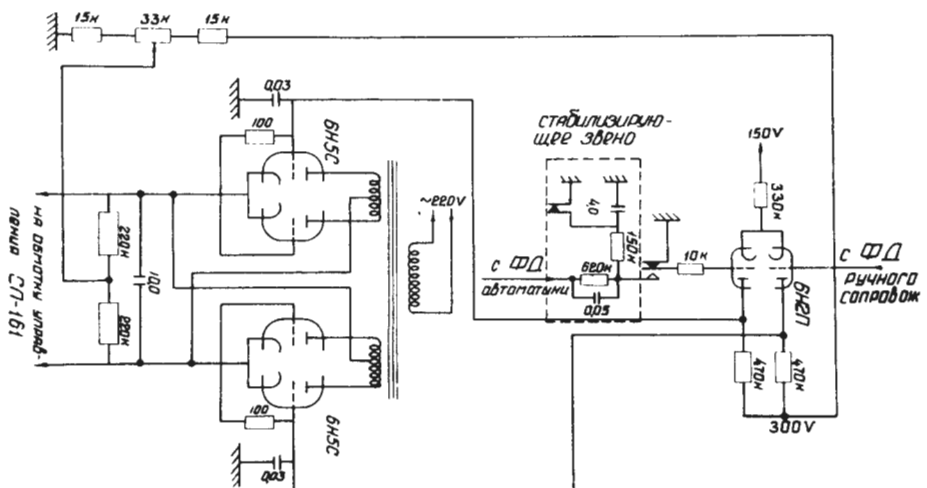
Р и с. 5. Блок-схема системы автоматического сопровождения.



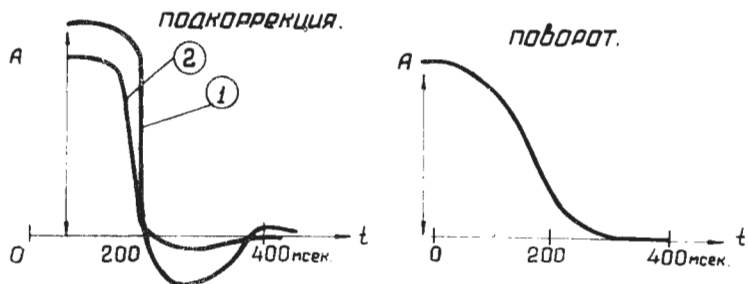
Р и с. 6. Блок-схема формирования электронных "шлейфов".



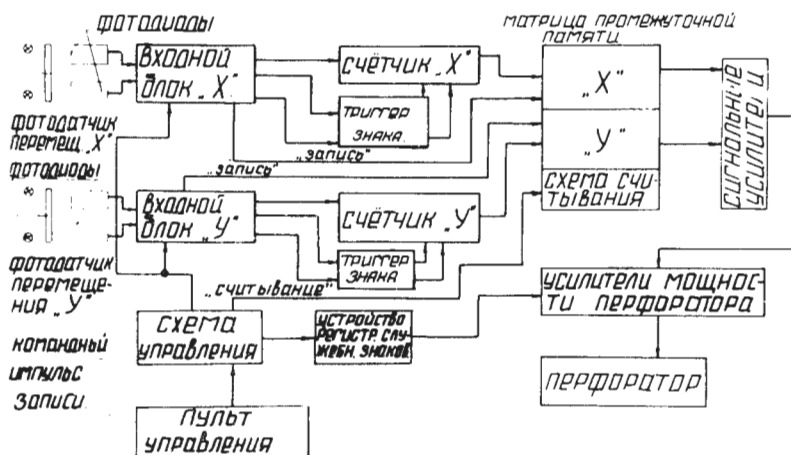
Р и с. 7. Схема дискриминатора.



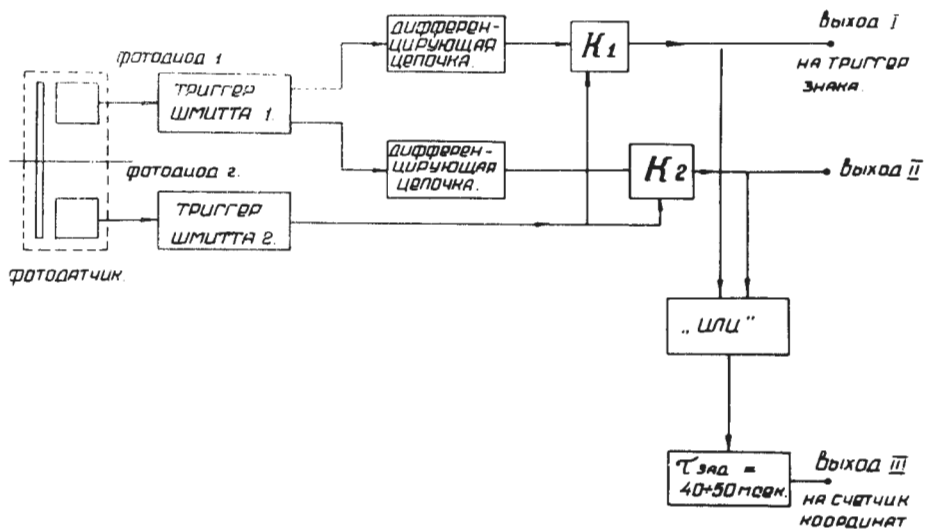
Р и с. 8. Схема электропривода.



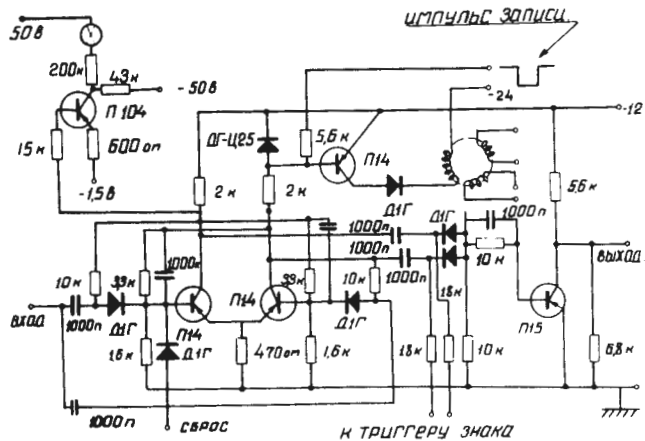
Р и с. 9. Осциллограмма переходных процессов системы автоматического сопровождения: 1— сплошной след, толщиной более 100 мк; 2— след разрывной толщиной 30—40 мк.



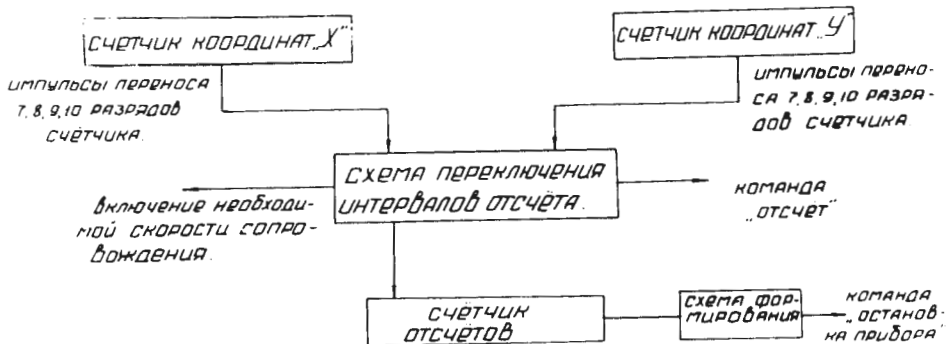
Р и с. 10. Блок-схема системы отсчета и регистрации координат.



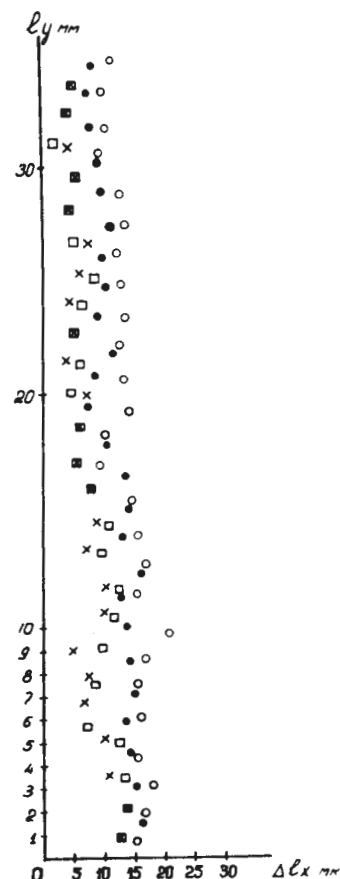
Р и с. 11. Схема определения знака перемещения.



Р и с. 12. Схема счетной ячейки.



Р и с. 13. Блок-схема системы автоматической регистрации координат.



Р и с. 14. Результаты четырехкратного измерения прямой линии, толщина линии 100 мк.